



## Journal of Aerospace Defense

Volume 1, Issue 3

Spring2024

P.P. 48-65

Research Paper; 

# Adaptive Robust Control for a Class of Under-Actuated Nonlinear Systems With Uncertainties

**S. Moghtader Arbatsofla<sup>1</sup>, A.H. Mazinan<sup>2</sup>, M.J. Mahmoodabadi<sup>3</sup>**

1. Department of Control Engineering, Faculty of of Electrical Engineering, South Tehran Branch, Islamic Azad University, Tehran, Iran. **E-mail:** Snmoghtader@gmail.com

2. Department of Control Engineering, Faculty of of Electrical Engineering, South Tehran Branch, Islamic Azad University, Tehran, Iran. **E-mail:** ahmazinan@gmail.com

3. Department of Mechanical Engineering, Sirjan University of Technology, Sirjan, Iran. **E-mail:** mohammadjavadmahmoodabadi@gmail.com

### Article Information

**Accepted:**  
2024/05/14

**Received:**  
2024/02/09

### Keywords:

Feedback linearization; Optimal control; Robust control; adaptive control; multi-objective artificial hummingbird algorithm.

### Abstract

In recent years, due to the widespread use of nonlinear under-actuated systems, many efforts have been made to design a controller compatible with these systems. In fact, the defect in stimulation is done in order to reduce the number of system actuators, in order to lighten the mechanism and reduce the cost of production. Such applications require a high degree of precision and innovation in control and sustainability. This paper proposes an optimal adaptive control method for the stabilization of under-actuated fourth-order ball and beam system, which is a classical example of inherently unstable systems. The basic structure for this controller is the feedback linearization (FBL) technique, while a sliding surface is applied using the sliding mod along with an adaptive method to calculate the interest coefficients. In addition, the control coefficients are optimized using the hummingbird algorithm by considering two opposing objective functions. Finally, the effectiveness of the proposed method for controlling the nonlinear ball and beam system is investigated. The results of the simulations show the high efficiency of the proposed method compared to similar works.

**Corresponding Author:**  
A.H. Mazinan

Email:ahmazinan@gmail.com

Sariyeh Moghtader Arbat Sofla; Amir hooshang Mazinan; Mohammad Javad Mahmoodabadi. (2024). Adaptive Robust Control for A Class Of Under-Actuated Nonlinear Systems With Uncertainties, Journal of Aerospace Defense, Vol. 3, No1. 2024.



## فصلنامه علمی دفاع هوافضایی

دوره ۳، شماره ۱  
بهار ۱۴۰۳  
صفحه ۴۸-۶۵



مقاله پژوهشی:



# کنترل مقاوم تطبیقی برای دسته سامانه‌های غیرخطی تحریک ناقص دارای نامعینی

سریه مقتدر اریط سفلی<sup>۱</sup>، امیرهوشنگ مزینان<sup>۲</sup>، محمدجواد محمودآبادی<sup>۳</sup>

۱. دانشجوی دکتری، گروه مهندسی برق کنترل، واحد تهران جنوب، دانشگاه آزاد اسلامی، تهران، ایران. رایانame: Snmoghtader@gmail.com
۲. دانشیار، گروه مهندسی برق کنترل، واحد تهران جنوب، دانشگاه آزاد اسلامی، تهران، ایران. رایانame: ahmazinan@gmail.com
۳. دانشیار، دانشکده مهندسی مکانیک، دانشگاه صنعتی سیرجان، سیرجان، ایران. رایانame: mahmoodabadi@sirjantech.ac.ir

### چکیده

در سال‌های اخیر به دلیل کاربرد فراوان سامانه‌های غیرخطی تحریک ناقص، تلاش‌های فراوانی برای طراحی کنترل‌کننده سازگار با این سامانه‌ها ارائه شده است. در واقع، نقص در تحریک به علت کاهش تعداد عملگرهای سامانه، به منظور سبک‌سازی مکانیزم و کاهش هزینه تولید صورت می‌گیرد. چنین کاربردهایی، درجه‌ی بالایی از دقت و نوآوری را در کنترل و پایداری طلب می‌کند. این مقاله یک روش کنترل تطبیقی مقاوم مرتبه کسری فازی بهینه برای پایدارسازی سامانه تحریک ناقص مرتبه چهارم گوی و میله به عنوان یک نمونه کلاسیک از سامانه‌های ذاتا ناپایدار پیشنهاد می‌دهد. ساختار پایه برای این کنترل‌کننده، تکنیک خطی‌سازی پسخورد (FBL) است، در حالیکه یک سطح لغزش با استفاده از روش مدل‌گزشی جداسده به همراه یک روش تطبیقی به منظور محاسبه ضرایب بهره اعمال می‌شود. علاوه‌بر این، ضرایب کنترل با استفاده از الگوریتم مرغ مگس خوار با ترکیب دو تابع هدف متضاد بهینه می‌شوند. در نهایت، اثربخشی روش پیشنهادی برای کنترل سامانه توب و میله غیرخطی پیاده‌سازی و بررسی می‌شود. نتایج شبیه‌سازی‌ها نشان‌دهنده‌ی کارایی بالای روش ارائه شده در مقایسه با سایر روش‌های ارائه شده در تحقیقات است.

### اطلاعات مقاله

تاریخ دریافت:  
۱۴۰۲/۱۱/۲۰

تاریخ پذیرش:  
۱۴۰۳/۰۲/۲۵

### کلیدواژه‌ها:

خطی‌سازی بازخورد؛ کنترل بهینه؛ کنترل مقاوم؛ کنترل تطبیقی؛ الگوریتم مرغ مگس خوار مصنوعی چند دلفه

نویسنده مسئول:  
امیرهوشنگ مزینان

ایمیل:  
ahmazinan@gmail.com

استناد: سریه مقتدر اریط سفلی، امیرهوشنگ مزینان، محمدجواد محمودآبادی. کنترل مقاوم تطبیقی برای دسته سامانه‌های غیرخطی تحریک ناقص دارای نامعینی. مجله علمی پژوهشی دفاع هوافضایی. دوره ۳، شماره ۱ بهار ۱۴۰۳.

## ۱- مقدمه

کنترل کننده‌های خودکار امروزه کاربرد وسیعی در صنعت دارند. هدف از طراحی کنترل کننده این است که با روشی معقول پاسخ دستگاه را به سمت مقدار مطلوب سوق دهد. برای مثال، طراحی سامانه هدایت و کنترل پرواز مoshک‌های مختلف بر اساس نوع و نحوه عملیات آنها از تنوع ویژه ای برخوردارند. تقریباً در تمامی مoshک‌ها سامانه هدایت و کنترل به دو بخش مجزا تقسیم می‌شود. بخش اول که حلقه داخلی را تشکیل می‌دهد، سامانه کنترل پرواز نامیده می‌شود و وظیفه پایدارسازی حرکت مoshک و کنترل آن را بر عهده دارد. بخش دوم، سامانه هدایت مoshک است که حلقه خارجی را تشکیل می‌دهد. این بخش در هر لحظه با توجه به موقعیت و مقصد مoshک، فرمانهای هدایتی لازم را به سامانه کنترل پرواز اعمال می‌کند. سامانه کنترل پرواز، حرکت مoshک را در سه کانال زاویه چرخ، زاویه سمت و زاویه اوج کنترل می‌کند و هدف کنترل پرواز، پایداری هم زمان تمام متغیرهای حالت است. هنگامی که بخش هدایت، فرمان برای مانور صادر می‌کند، وظیفه خود خلبان<sup>۱</sup> است که با کمترین ثابت زمانی، کمترین فراجهش<sup>۲</sup> و کمترین زمان نشست<sup>۳</sup>، این فرمان را با حرکت دادن بالک‌ها به میزان لازم به انجام برساند.

انگیزه کنترل سامانه‌های تحریک ناقص، کاربردهای آن‌ها مانند هوایپماها، ربات‌های صنعتی و وسایل نقلیه پرنده است. علاوه بر این وجود ترم‌های غیرخطی، فرآیند پایداری را پیچیده و یا غیر ممکن می‌سازد. به این ترتیب یکی از سامانه‌های کلاسیک در دینامیک و مبانی کنترلی سامانه توب و تیر است. این سامانه به لطف ویژگی‌هایی همچون غیرخطی بودن، مرتبه بالا، ناپایداری عبارت دیگر، پویایی پیچیده این سامانه می‌تواند قابلیت‌های تکنیک‌های کنترل بازخورد را به چالش بکشد [۱]-[۲]. خطی‌سازی پسخورد<sup>۴</sup> یکی از متدالوی ترین روش‌های مورد استفاده در کنترل غیرخطی می‌باشد [۳]-[۴]. ایده اصلی خطی‌سازی پسخورد مبتنی است بر تبدیل دینامیک غیرخطی با استفاده از پسخورد حالت، که خطی‌سازی ورودی - حالت به خطی‌سازی کامل و خطی‌سازی ورودی - خروجی به خطی‌سازی جزئی مربوط می‌شود [۵]-[۶]. اما مهمترین محدودیت این روش‌ها در حالت‌هایی است که عدم قطعیت پارامتری<sup>۵</sup> و یا دینامیک‌های مدل نشده در سامانه حضور داشته باشند. هانگ و چن با استفاده از یک کنترل کننده مدل‌لغشی تطبیقی<sup>۶</sup> برای یک بازوی انعطاف‌پذیر، در برابر نامعینی‌ها، سامانه را مقاوم نمودند [۷]. از سوی-

<sup>1</sup> Auto pilot

<sup>2</sup> Overshoot

<sup>3</sup> Undershoot

<sup>4</sup> Feedback linearization

<sup>5</sup> Parametric uncertainty

<sup>6</sup> Adaptive Sliding Mode control

دیگر، روش‌های تطبیقی، به ویژه رویکردهای مبتنی بر گرادیان نزولی، روش‌های کارآمدی برای اصلاح بهره‌های کنترلی در هنگام تغییر پارامترهای سیستم با داشتن مقادیر عدم قطعیت اولیه هستند. به این ترتیب، ژانو و همکارانش در سال ۲۰۲۱ یک روش کنترل تطبیقی برای مکانیسم حرکتی عضلات مصنوعی پنوماتیک بر اساس یک مشاهده‌گر توسعه یافته پیشنهاد دادند.<sup>[۸]</sup> در مطالعه دیگری، کوکسال و همکارانش در سال ۲۰۲۰ یک روش کنترل تطبیقی گام به عقب<sup>۱</sup> و یک طراحی کنترل تطبیقی مستقیم جایگزین با عملکرد در ردبایی گذرا و حالت پایدار تضمین شده برای ردبایی مسیر یک هوایپمای بدون سرنشین کوادرورتور ارائه کردند دادند.<sup>[۹]</sup> نجفپور و همکارانش در سال ۲۰۲۲ برای کنترل مسیر موشک اتوپاپیلوت از روش رگولاتور دو مجذوری طراحی و با استفاده از جستجوگر برای تخمین و سرعت نزدیکی موشک به هدف بهره بردن.<sup>[۱۰]</sup> طریقی و همکارانش در سال ۲۰۲۴ با استفاده از تکنیک فیلتر کالمون برای ردبایی یک رادار با هدف پشتیبانی حال و آینده برای مانورهای سیستم‌های پروازی کنترل کننده را طراحی کردند.<sup>[۱۱]</sup> با توجه به اینکه هیچ تضمینی درباره مقاوم بودن سامانه در برابر نامعینی موجود ندارد، جهت رفع این محدودیت پیاده‌سازی دو کنترل کننده مدلغزشی<sup>۲</sup> و خطی‌ساز پسخورد به طور همزمان جهت استفاده از مزایای دوکنترل کننده اجتناب ناپذیر به نظر می‌رسد. محمود آبادی و همکارانشان در سال ۲۰۱۸ از این روش جهت سامانه‌های دینامیکی غیرخطی بهره برند و با طرح بهینه‌ای از ترکیب کنترل کننده مدلغزشی مجزا<sup>۳</sup> و خطی‌سازی پسخورد تقریبی بروی سامانه‌های کنترل غیرخطی آونگ وارون جهت بهینه نمودن پارامترهای کنترلی انجام دادند.<sup>[۱۲]</sup> کنترل مدلغزشی یک روش غیرخطی، ساختار متغیر است، که با تغییر دینامیک یک سامانه غیرخطی با استفاده از یک سیگنال کنترل ناپیوسته، سامانه را وادار به لغزش در امتداد یک سطح مقطع از رفتار طبیعی یک سامانه می‌کند. به عبارت دیگر روش کنترل لغزشی یکی از حالت‌های کنترل ساختار متغیر است که در این روش حالت‌های سامانه توسط قوانین کنترلی روی مسیر از پیش تعیین شده‌ای (خط یا سطح سوئیچ) قرار می‌گیرد و با دینامیک مشخصی که توسط طراح مشخص می‌شود و می‌تواند غیر دینامیک سامانه باشد به سمت نقطه مورد نظر حرکت می‌کند. در سال ۲۰۱۳ محمود آبادی و همکارانشان طراحی بهینه را با بکارگیری مدلغزشی مجزا بروی یک پاندول معکوس انجام دادند.<sup>[۱۳]</sup> گاهی اوقات هدف، بهینه کردن بیش از یک تابع به طور همزمان می‌باشد.<sup>[۱۴]</sup> با توجه به محدودیت‌های موجود در سیستم‌های فضایی در زمینه تامین انرژی، این توان باید بهینه و در حداقل ممکن باشد. به همین منظور ملک زاده فرد و همکارانش در سال ۲۰۲۴ سیستم بهینه‌ای برای کنترل دمای ماهواره ارائه نمودند.<sup>[۱۵]</sup> در سال ۲۰۱۵ طاهر خرسندی

<sup>1</sup> PID controller<sup>2</sup> Backstepping<sup>3</sup> Decoupled Sliding Mode

و همکارانشان با ترکیب کنترل کننده مد لغزشی و کنترل کننده تناوبی- انتگرالی- مشتقی توanstند یک سامانه توب و تیر را کنترل و بهینه نمایند [۱۶]. منظور از بهینه‌سازی<sup>۱</sup>، یافتن متغیر-های تصمیم‌گیری (متغیرهای طراحی) یک تابع به گونه ایست که تابع مورد نظر بهترین جواب و عملکرد را از خود بروز دهد [۱۷]. در این نوع بهینه‌سازی که بهینه‌سازی چندهدفی<sup>۲</sup> نام دارد، متغیرهای تصمیم‌گیری باید به نحوی تعیین شوند که تمامی توابع مورد نظر باهم بهینه گردند. به دلیل تضاد موجود در توابع، دست یافتن به جوابی که همه توابع را به سمت مطلوب و بهینه هدایت نماید، عملاً امکان پذیر نمی‌باشد. آنچه در این نوع بهینه‌سازی حاصل می‌گردد، نه یک جواب منحصر به فرد بهینه، بلکه یک دسته پاسخ‌های نقاط غیربرتر<sup>۳</sup> می‌باشد [۱۸]. پس از طراحی کنترل کننده‌ای که بتواند به خوبی سامانه مورد نظر را کنترل و پایدار نماید، باید با استفاده از مفاهیم بهینه‌سازی، ضرایب کنترلی را به نحوی یافت که کنترل سامانه مورد نظر به صورت مقتضی و مورد انتظار با بهترین عملکرد ممکن صورت پذیرد [۱۹]. استفاده از الگوریتم‌های تکاملی یک تکنیک کارآمد برای دستیابی به عملکرد بهینه برای یک تلاش کنترلی بر اساس معیارهای طراحی از پیش تعریف شده می‌باشد. بر این اساس، الگوریتم مرغ مگس خوار<sup>۴</sup> به عنوان یکی از راهکارهای بهینه‌سازی هوشمند اخیر معرفی شد. در این مقاله، از الگوریتم یادشده چهت بهینه‌سازی ضرایب کنترلی استفاده می‌شود [۲۰].

ترکیب جدید سامانه‌های فازی بهمراه مشتقات مرتبه کسری<sup>۵</sup> و سطوح حالت لغزشی مجزا<sup>۶</sup>، با متد خطی‌سازی پسخورد دستاورده و نوآوری اصلی این مقاله است. در استراتژی معرفی شده، از ایده خطی‌سازی پسخورد برای انتقال مدل دینامیکی به یک فضای حالت<sup>۷</sup> جدید استفاده شده است. سپس، قوانین تطبیق بر مبنای روش گرادیان نزولی<sup>۸</sup> و سطوح حالت لغزشی مجزا جهت محاسبه تطبیقی پارامترهای کنترل طراحی می‌گردد. در مرحله بعد، برای دستیابی به عملکرد بهینه برای تلاش کنترلی طراحی شده، خطاهای سامانه به عنوان توابع هدف<sup>۹</sup> در نظر گرفته شده و حداقل مصرف انرژی به عنوان محدودیت در فرآیند بهینه‌سازی در نظر گرفته می‌شود. آنگاه جبهه‌های پارتو مربوط به رویکردهای کنترلی مختلف برای نشان دادن برتری سناریوی کنترل تطبیقی مقاوم<sup>۱۰</sup> به تصویر کشیده شده‌اند. در نهایت، یک سامانه توب و میله غیرخطی دو بعدی، برای به چالش کشیدن عملکرد کنترل کننده پیاده‌سازی شده است.

<sup>1</sup> optimization<sup>2</sup> Multi-Objective Optimization<sup>3</sup> paretofront<sup>4</sup> Hummingbird algorithm<sup>5</sup> Derivative Fractional order<sup>6</sup> sliding surface<sup>7</sup> State space<sup>8</sup> Descending gradient<sup>9</sup> Objective function<sup>10</sup> Robust adaptive control

ساختار مقاله به شرح زیر سازماندهی شده است. بخش ۲ استراتژی پیشنهادی را که شامل خطی-سازی پسخورد، محاسبات مرتبه کسری، سامانه فازی، قوانین تطبیقی و بهینه‌سازی را تعریف می-کند. بخش ۳ اجرای کنترل کننده معرفی شده را برای یک سامانه توپ و میله ارائه می‌کند. علاوه براین، به منظور اثبات کارایی و عملکرد مناسب سیستم کنترلی نتایج شبیه‌سازی‌ها و مقایسه آن‌ها در نرم افزار متلب در این بخش به نمایش گذاشته شده و مورد بحث قرار گرفته است. در نهایت، بخش ۴ نتیجه‌گیری را ارائه می‌کند.

## ۲- استراتژی پیشنهادی

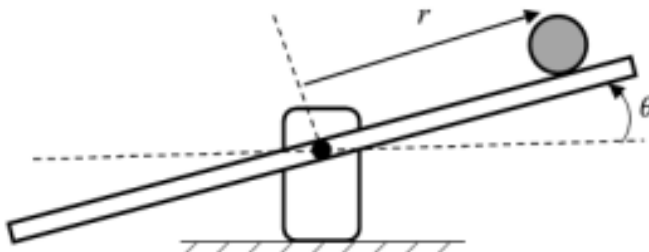
برای سامانه غیرخطی مرتبه چهارم تحریک ناقص<sup>۱</sup> توپ و میله نشان داده شده در شکل ۱، با در نظر گرفتن متغیرهای  $[x_1(t), x_2(t), x_3(t), x_4(t)] = [\theta(t), \dot{\theta}(t), r(t), \dot{r}(t)]$  معادلات فضای حالت را به صورت زیر است:

$$\dot{x}_1(t) = x_2(t) \quad (1)$$

$$\dot{x}_2(t) = u(t) + d(t) \quad (2)$$

$$\dot{x}_3(t) = x_4(t) \quad (3)$$

$$\dot{x}_4(t) = x_3(t)x_2^2(t) - g \sin x_1(t) \quad (4)$$



شکل ۱: ساختار توپ و میله مذکور در این مقاله

که در آن  $J_b$ ,  $R$  و  $M$  به ترتیب ممان اینرسی توپ، جرم توپ و شعاع توپ را نمایش می‌دهند. معادلات فوق با فرضیات ساده‌ای مانند مرکز چرخش بدون اصطکاک و غلتشن بدون لغزش توپ بر روی تیر لحظه شده‌اند. مشخصات فیزیکی سامانه و همچنین مقادیر اولیه حالت‌ها در نظر گرفته شده در مرجع [۲۱] برای شبیه‌سازی طبق جدول (۱) ارائه شده است.

<sup>۱</sup> Under-actuated

علاوه بر مفروضات فوق، برای بدست آوردن سطح لغزشی  $S_2$  و  $S_1$  از ایده‌ای استفاده شده است که در آن برای طراحی یک قانون کنترلی، چندین زیرسامانه به طور همزمان با استفاده از تنها یک ورودی، کنترل می‌شوند. همچنین برای جلوگیری از ایجاد چترینگ<sup>۱</sup> از تابع اشباع (sat) استفاده شده است.

$$\begin{aligned} u_{DSMC}(t) &= U_{eq}(t) \\ &= C_1(\dot{z} - x_2(t)) - Sat(S_1 G) P_S \end{aligned} \quad (5)$$

جدول ۱: توصیف‌های فیزیکی سامانه توپ و میله مد نظر در این مقاله

ردیف	پارامتر	توصیف	واحد اندازه گیری	مقادیر
۱	$B = \frac{MR^2}{J_b + MR^2}$	ثابت اینرسی	$Nm/A$	۰.۷۱۴۳
۲	$J_b$	ممان اینرسی توپ	$kg \cdot m^2$	$2 \times 10^{-7}$
۳	M	جرم توپ	$kg$	۰.۰۵
۴	R	شعاع توپ	$m$	۰.۰۱
۵	g	ثابت گرانشی	$\frac{m}{s^2}$	۹.۸
۶	$d(t)$	اغتشاش خارجی	$\frac{m}{s^2}$	$ l  \leq 0.08$
۷	$\theta(0)$	شرایط اولیه زاویه میله	deg	۶۰°
۸	$\dot{\theta}(0)$	شرایط اولیه سرعت زاویه ای میله	deg	۰
۹	$r(0)$	شرایط اولیه موقعیت توپ	m	۱۰
۱۰	$\dot{r}(0)$	شرایط اولیه سرعت توپ	$\frac{m}{s^2}$	۰

## ۲-۱- خطی سازی پسخورد

برای پیاده‌سازی خطی سازی پسخورد [۱۲]، حالت اولیه  $(\mathbf{x}) = x_3(t) = \emptyset$  در نظر گرفته شده است. آنگاه سایر معادلات فضای حالت بشکل زیر با استفاده از مرجع [۲۲] استخراج شده است.

$$\dot{\zeta}_1 = \zeta_2 = L_f \emptyset(\mathbf{x}) = x_4(t) \quad (6)$$

$$\dot{\zeta}_2 = \zeta_3 = L_f^2 \emptyset(\mathbf{x}) \quad (7)$$

$$= B(x_3(t)x_2^2(t) - g \sin x_1(t))$$

<sup>۱</sup> Chattering

<sup>۲</sup> Saturation Function

از آنجا که  $B(x_3(t)x_2^2(t))$  یک عبارت غیرخطی مرتبه بالا بوده و از طرفی هنوز عبارت نیروی کنترلی هم ظاهر نشده است، لذا با نادیده گرفتن این عبارت خواهیم داشت:

$$\dot{\zeta}_3 = \zeta_4 = L_f^3 \emptyset(\mathbf{x}) = -B g x_2(t) \cos x_1(t) \quad (8)$$

$$\begin{aligned} \dot{\zeta}_4 &= L_f^4 \emptyset(\mathbf{x}) + L_g L_f^3 \emptyset(\mathbf{x}) u(t) = -B g x_2^2(t) \sin x_1(t) + \\ &(-B g(t) \cos x_1(t)) u(t) \end{aligned} \quad (9)$$

$$u(t) = \frac{v - L_f^4 \emptyset(\mathbf{x})}{L_g L_f^3 \emptyset(\mathbf{x})} \quad (10)$$

آنگاه تلاش کنترلی به شکل ذیل بدست آمده است :

$$u_{\text{FBL}}(t) = \frac{v - B g x_2^2(t) \sin x_1(t)}{-B g(t) \cos x_1(t)} \quad (11)$$

که در آن  $v$  ، به عنوان ورودی کنترل خطی، می‌تواند به صورت زیر تعریف شود.

$$v = -k_1 \zeta_1 - k_2 \zeta_2 - k_3 \zeta_3 - k_4 \zeta_4 \quad (12)$$

همچنین  $k_4$  و  $k_1, k_2, k_3$  ضرایب ثابت هستند و به گونه‌ای انتخاب شده‌اند که قطب‌های سامانه‌های حلقه بسته در سمت چپ محورهای فرضی قرار گیرند.

## ۲.۲- محاسبه پارامترهای تطبیقی

روش‌های تطبیقی، به ویژه رویکردهای مبتنی بر گرادیان نزولی، روش‌های کارآمدی برای اصلاح بهره‌های کنترلی در هنگام تغییر پارامترهای سامانه یا داشتن مقادیر عدم قطعیت اولیه هستند. لذا با استفاده از روش تقریبی گرادیان نزولی، ضرایب ثابت  $k_4$  و  $k_1, k_2, k_3$  به عنوان ورودی کنترل که در معادله (۱۲) نمایش داده شده است، به استناد مرجع [۲۳] به شرح ذیل تنظیم شده است:

$$\begin{aligned} k_i &= -\gamma_i \frac{\partial s_1 \dot{s}_1}{\partial k_i} \equiv -\gamma_i s_1 \zeta_i \quad i \\ &= 1, 2, 3, 4 \end{aligned} \quad (13)$$

که در آن  $\gamma_i$  یک پارامتر ثابت مثبت است و به عنوان نرخ یادگیری شناخته می‌شود. علاوه بر این، سطح لغزش  $s_1$  از معادلات حالت مدل‌گذشی استخراج و محاسبه می‌شود. ایده اصلی مدل‌گذشی، دینامیکی خواهد بود که از آن سورفیس سطوح حالت لغزشی جدا شده و به عنوان قانون کنترل طراحی استفاده شده است. بطوریکه در آن چندین زیرسامانه به طور همزمان با استفاده از تنها یک ورودی کنترل می‌شوند. برای سامانه مرتبه چهارم ذکر شده در معادلات (۱-۴) با استفاده از متغیرهای حالت  $x_1$  و  $x_2$  برای تشکیل زیرسامانه اول (درجه آزادی اول) انتخاب می‌شوند. علاوه

بر این، از متغیرهای حالت  $x_3$  و  $x_4$  برای تشکیل زیرسامانه دوم(درجه آزادی دوم) استفاده می‌شود. بر این اساس سطوح لغزشی به صورت زیر تعریف شده است:

$$\begin{cases} s_1 = c_1(x_1(t) - z) + x_2(t) \\ s_2 = c_2x_3(t) + x_4(t) \end{cases} \quad (14)$$

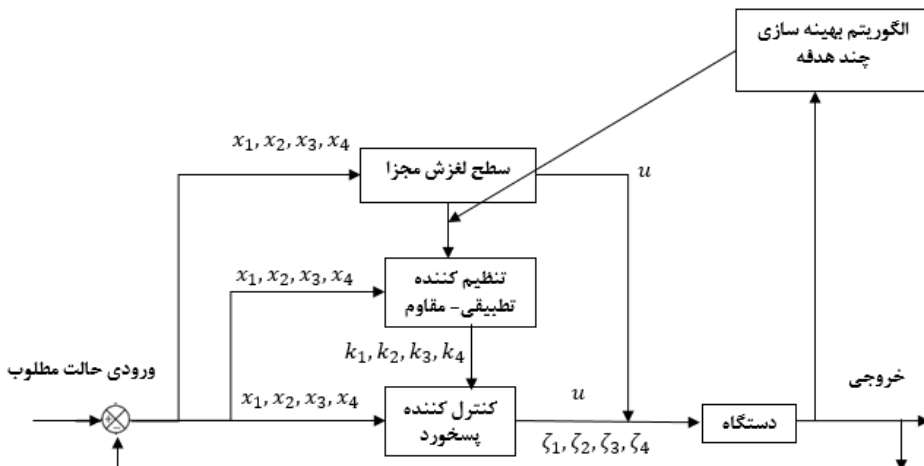
شایان ذکر است  $C_2$  و  $C_1$  پارامترهای کاملاً مثبت طراحی هستند. علاوه بر این،  $Z$  یک متغیر واسطه تک سیگنالی، در حالت نوسانی است که مقدار آن به  $S_2$  وابسته است و می‌تواند به صورت زیر بیان شود:

$$z = sat\left(\frac{s_2}{\emptyset_z}\right)z_{upper} \quad (15)$$

که در آن  $z_{upper}$  پارامتر  $S_2$  را به محدوده مناسب  $x_1(t)$  هدایت کرده است:

$$|z| \leq z_{upper}; 0 < z_{upper} < 1 \quad (16)$$

علاوه بر این  $\emptyset_z$  یک لایه مرزی برای  $S_2$  است. همچنین از تابع **sat** که در معادله (۵) قید شده استفاده شده است. در پایان، نیروی کنترلی پیشنهادی به صورت مجموع وزنی خطی با معادلات (۵) و (۱۱) محاسبه و اعمال می‌شود که در ذیل ساختار کنترل کننده طراحی شده نمایش داده شده است.



شکل ۲: ساختار گرافیکی کنترل کننده پیشنهادی مورد نظر در این مقاله

### ۲.۳- محاسبات بهینه سازی چند هدفه

در طی چندین دهه گذشته، برای رفع مسائل بهینه‌سازی مختلف، رویکردهای بهینه‌سازی متعددی طراحی شده است. با این وجود، توسعه جامعه انسانی و فرآیندهای صنعت مدرن در

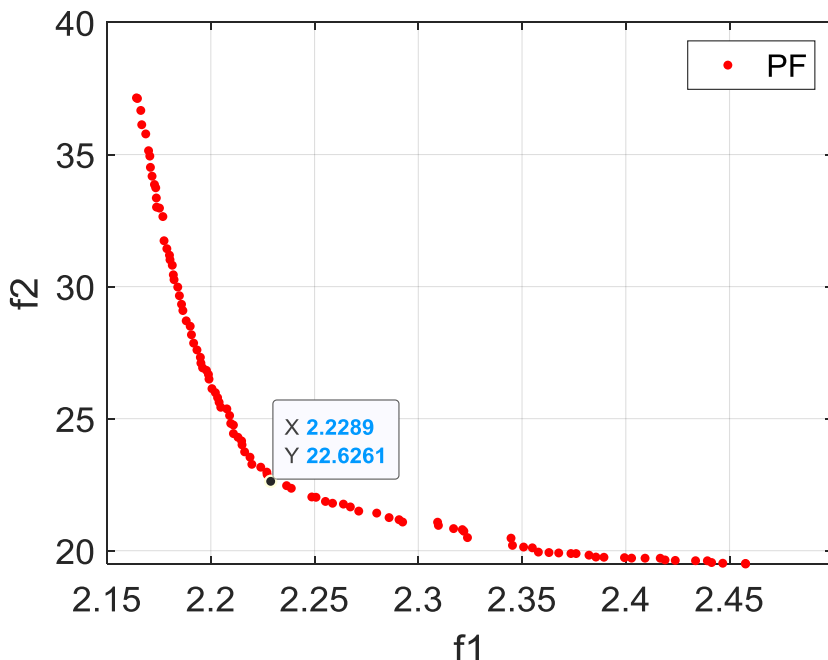
سال‌های اخیر، به طور قابل ملاحظه‌ای منجر به پیچیدگی مسائل بهینه‌سازی در دنیای واقعی شده است و چالش‌های قابل توجهی را برای تکنیک‌های بهینه‌سازی ایجاد می‌کند. به طور کلی، تکنیک‌های بهینه‌سازی موجود به الگوریتم‌های قطعی و فرا ابتکاری طبقه‌بندی می‌شوند. بهینه‌سازی ضرایب کنترل کننده‌ای که بتواند به خوبی سامانه مورد نظر را کنترل و پایدار نماید از جمله دلایلی بود که بسیاری از محققان، استفاده از الگوریتم‌های ابتکاری و فرا ابتکاری را در دستور کار خود قرار دادند. در این مقاله برای حل مسائل بهینه‌سازی، از یک الگوریتم بهینه‌سازی جدید الهام گرفته شده از طبیعت، تحت عنوان الگوریتم مرغ مگس خوار مصنوعی استفاده شده است. همچنین، الگوریتم مرغ مگس خوار از قابلیت شبیه‌سازی مهارت‌های ویژه پرواز و راهبردهای جستجوی هوشمندانه مرغ مگس خوار در طبیعت برخوردار است. برای این منظور، در زمینه راهبردهای جستجوی غذا، سه نوع از مهارت‌های پرواز نظیر پروازهای محوری، مورب و تمام جهته مدل‌سازی شده است. علاوه‌بر این، جدول بازدید برای مدل سازی عملکرد حافظه مرغ مگس خوار برای منابع غذایی ایجاد می‌شود. همچنین، با استفاده از دو مجموعه از توابع تست عددی، مرغ مگس‌خوار اعتبار سنجی شده است و نتایج حاصل از کنترل با این روش با نتایج حاصل از کنترل کننده‌های قبلی مورد مقایسه قرار گرفته است. برای این منظور، الگوریتم مرغ مگس خوار چنددهده برای انتخاب پارامترهای کنترل کننده مقاوم تطبیقی مرتبه کسری فازی اعمال شده است. جبهه‌های پرتو الگوریتم بهینه‌سازی برای اندازه جمعیت ۵۰ و حداقل تولید ۱۰۰ در نظر گرفته شده است، سامانه دارای توابع هدف با دودره جه آزادی است و در واقع قدر مطلق انتگرال نیروی کنترلی و قدر مطلق انتگرال خطاهای زاویه میله ( $\Theta$ ) و موقعیت توب (X) تعريف شده است، که باید با یک محدودیت در زمان انتگرال گیری، کاهش تلاش کنترلی (ITAC) را به مقدار حداقل برسد.

جدول ۲: مقادیر توابع هدف در نقطه بهینه شکل ۲.

ردیف	هدف	مقدارنهایی روش کنترل پیشنهادی (FFRA FBL)
۱	انتگرال خطای زاویه $ITAE(\theta)$	۲.۲۲۸۹
۲	انتگرال خطای موقعیت $ITAE(x)$	۲۲.۶۲۶۴

با استفاده از بهینه‌سازی چند هدفه، مقادیر آنها بر روی روش پیشنهادی در جبهه پارتی مطابق شکل ۳ نشان داده شده است. علاوه بر این، مقادیر توابع هدف تعیین شده در جبهه پارتی، در

جدول ۲ مشخص شده است. همچنین جدول ۳ نشان دهنده متغیرهای طراحی نقاطی است که در جبهه پارتو مشخص شده است. پاسخ‌های زمانی نقاط بهینه طراحی شده در شکل‌های ۴ تا ۶ بیانگر توانایی بالای کنترل کننده‌ی پیشنهادی در پایدارسازی سامانه محک (توب و میله) با زمان نشستی کم و حداقل فراجهش است.



شکل ۳: جبهه پارتو بدست آمده توابع هدف متضاد با استفاده از الگوریتم مرغ مگس خوار

جدول ۳: متغیرهای طراحی برای نقاط بهینه شکل ۳.

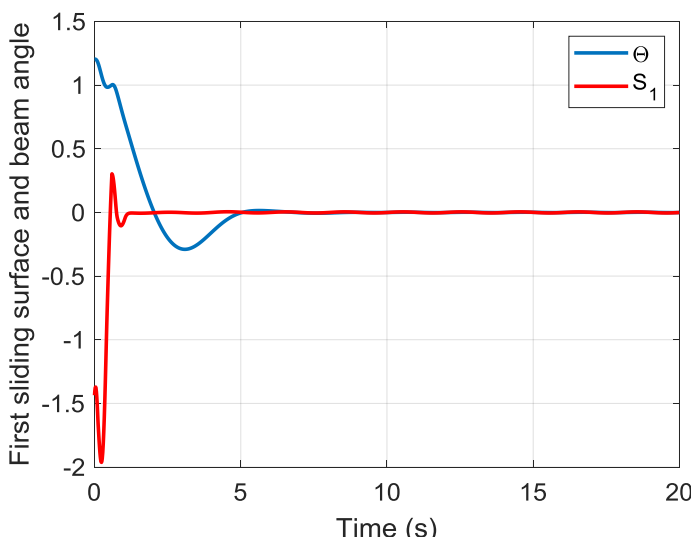
ردیف	توصیف	مقدارهایی روش کنترل پیشنهادی (FFRA FBL)
۱	$c1$	۲.۹۰۰۰
۲	$c2$	۰.۶۹۰۰
۳	$\emptyset_z$	۳.۸۵۷۵
۴	$Z_{upper}$	۰.۹۵۰۰
۵	$\gamma_1$	۸.۹۸۷۲
۶	$\gamma_2$	۱۰.۱۰۰۰
۷	$\gamma_3$	۰.۰۳۴۷
۸	$\gamma_4$	۰.۰۲۶۲-
۹	$P_S$	۰.۹۹۳۱

۲۰.۸۷۴۰	$G$	۱۰
۰.۹۰۰۰	$CS$	۱۱
۰.۴۴۰۰	$Cf$	۱۲

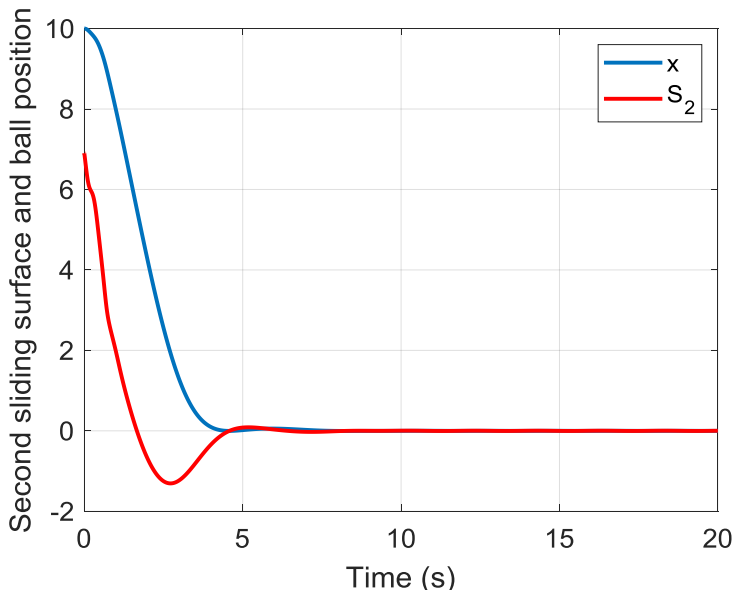
### ۳- شبیه سازی

در این قسمت، توانایی ایده پیشنهادی در کنترل سامانه مکانیکی غیرخطی و تحریک ناقص توب و میله مورد بررسی قرار گرفته است. به این ترتیب، الگوریتم مرغ مگس خوار برای طراحی بهینه خطی سازی پسخورد تطبیقی مقاوم اعمال شده است. توابع هدف و جبهه های پارتو که شامل خطای زاویه میله و خطای فاصله توب در نظر گرفته شده، که در شکل (۳) نشان داده شده است به ترتیب برابر است با  $2.2289$  و  $22.6264$  همچنین پاسخ های زمانی حاصل از پیاده سازی روش کنترلی پیشنهادی بر اساس مقادیر توابع هدف مربوط به نقاط طراحی بهینه و متغیرهای طراحی آنها به ترتیب در جداول (۲) و (۳) نشان داده شده است. نمودارهای ۴ تا ۶ به وضوح نشان می دهد که راهبردهای پیشنهادی، روش های معتبری برای بهبود عملکرد کنترل کننده کلاسیک هستند.

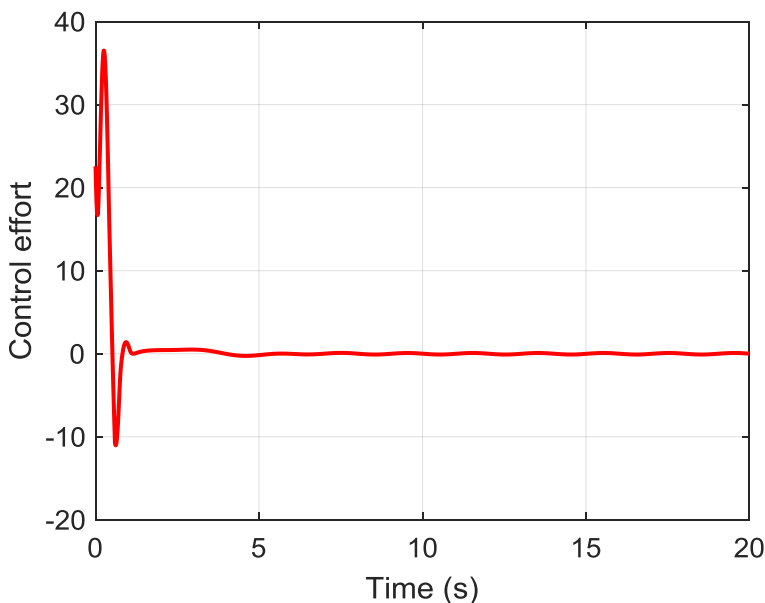
علاوه بر این، در نمودارهای نشان داده شده در شکل های ۷ و ۸، زاویه میله و موقعیت توب را برای روش کنترلی معرفی شده در این تحقیق و روش ارائه شده در مرجع [۲۴] با یکدیگر مقایسه شده اند.



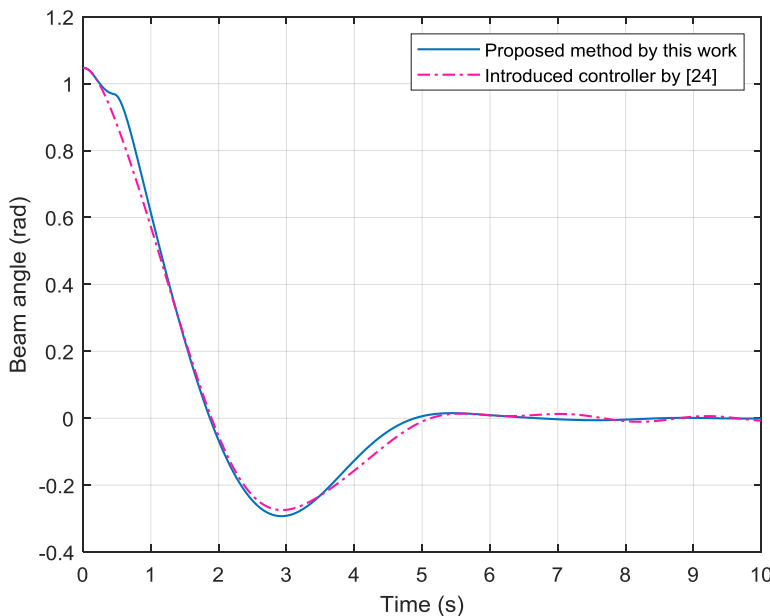
شکل ۴: زاویه میله و سطح لغزش اول برای نقطه برتر بدست آمده از جبهه پارتو تابع هدف بهینه شده با الگوریتم مرغ مگس خوار



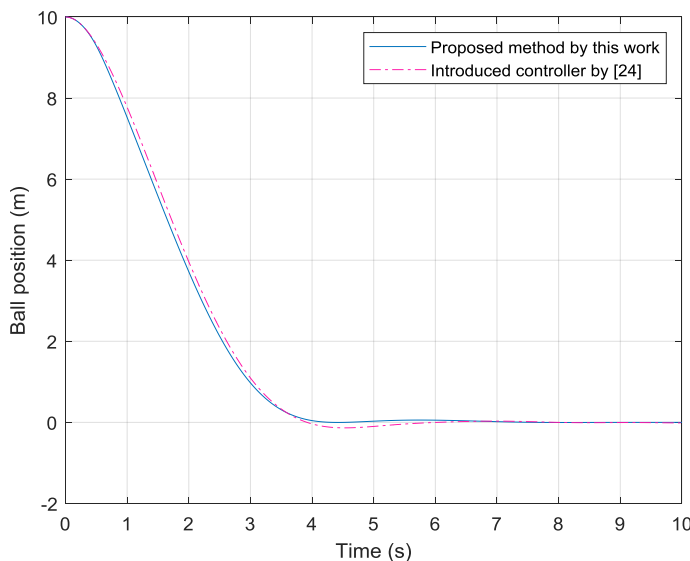
شکل ۵: موقعیت توپ و سطح لغزش دوم برای نقطه برتر بدست آمده از جبهه پارتوا توابع هدف بهینه شده با الگوریتم مرغ مگس خوار



شکل ۶: گشتاور کنترلی برای نقطه برتر بدست آمده از جبهه پارتوا توابع هدف بهینه شده با الگوریتم مرغ مگس خوار



شکل ۷: زاویه میله برای روش‌های پیشنهادی در این تحقیق و در مرجع [۲۴]



شکل ۸: موقعیت توپ برای روش‌های پیشنهادی در این تحقیق و در مرجع [۲۴]

هدف اصلی در این مقاله این بود که کنترل کننده جدید طراحی شده، پایداری را در قبال نامعینی مدل حفظ نماید. که برای رسیدن به این هدف، با تلفیق روش‌های کنترلی به منظور استفاده همزمان از مزایای روش‌های مختلف اقدام و حذف عوامل غیرخطی با بکارگیری خطی‌ساز پسخورد انجام شد. پاسخ‌های زمانی حاصل از پیاده‌سازی روش کنترلی پیشنهادی و نمونه‌های انجام شده، با توجه به زاویه میله و موقعیت توب به ترتیب در شکل(۴) و (۵) به تصویر کشیده شده و عملکرد مناسب و سریع کنترل کننده پیشنهادی کاملاً نمایان است. چرا که با دقت در اشکال فوق، به ترتیب سیستم در زاویه میله دارای زمان نشست حدود ۵ ثانیه و آندرشوت کمتر از ۰.۲۵ رadian بر ثانیه دارد و در موقعیت توب با زمان نشست حدود ۴.۵ ثانیه و سیستم بدون آندرشوت و اوورشوت است. با نوآوری انجام شده درخصوص طراحی کنترل کننده جدید با تلفیق همزمان پسخورد و روش‌های تطبیقی جهت ارتقاء عملکرد کنترلی، اصلاح قوانین کنترلی جهت مقاوم نمودن سامانه با به کارگیری الگوریتم‌های فرالبتکاری برپایه پارتیو برای دریافت پاسخ مطلوب دریافت و نتایج آن در محیط نرم‌افزار متلب شبیه‌سازی شد و همانطورکه مشاهده شد، نتایج ارائه شده دارای مشخصات کنترلی موفق نظری حداقل خطا، کمترین زمان نشست، حداقل فراجهش است که این فرآیند اثبات برتری سامانه را بهمراه دارد.

## ۵-منابع

- [1] A. Isidori, "Nonlinear Control",3rd ed. Springer-Verlag, Great Britain, London ,2001.
- [2] S. Sastry, "Nonlinear Systems: Anlysis, Stability, and Control", Springer-Verlag, New York, 1991.
- [3] J. Hauser, S, Sastry, and P. Koktovic, "Nonlinear Control via Approximate Input-Output Linearization :The Ball and Beam Example", IEEE Transactions on Automatic Control, Vol. 37, No. 3, 1992.
- [4] Aouston, Y., Formal'skii, A. Ball on a beam: stabilization under saturated input control with large basin of attraction. Multibody Syst Dyn 21,71–89 (2009). doi.org/10.1007/s11044-008-9128-0.
- [5] W. R. Abdul-Adheem, I. K. Ibraheem "On The Active Input-Output Feedback Linearization of Single-Link Flexible Joint Manipulator: An Extended State Observer Approach", IEEE transactions on industrial electronics, Engineering Department, Baghdad University, 2018.
- [6] Muftah, M.N.; Faudzi, A.A.M.; Sahlan, S.; Mohamaddan, S. Intelligent Position Control for Intelligent Pneumatic Actuator with Ball-Beam (IPABB) System. Appl. Sci. 2022.

- [7] A. -C. Huang and Y. -C. Chen, "Adaptive sliding control for singlelink flexible-joint robot with mismatched uncertainties "IEEE Transactions on Control Systems Technology, 2004.
- [8] Zhao, L., Cheng, H., Zhang, J and Xia, Y. 2021. Adaptive control for a motion mechanism with pneumatic artificial muscles subject to dead-zones. Mechanical Systems and Signal Processing. 2020.
- [9] Koksal, N., An, H and Fidan, B., 2020. Backstepping-based adaptive control of a quadrotor UAV with guaranteed tracking performance. ISA Transactions 2020.
- [10] VahidNajafpour,Rasool Ramezani, Investigation of stability and deformation of earthen walls reinforced with geosynthetics under explosion with passive defense approach, Journal of Airspace Defense Vol. 1, No, 3, 1401.
- [11] Reza Tarighi, M.H Khalesi, M.H. Kazemi, Target Tracking in Radar using the Kalman Filter Technique, Journal of Airspace Defense, Vol. 2, No 3, 1402.
- [12] M. Andalib Sahnehsaraei, M.J. Mahmoodabadi and A Bagheri "Pareto optimum control of a 2-DOF inverted pendulum using approximate feedback linearization and sliding mode control " Transactions of the Institute of Measurement and Control Vol. 36(4) 496–505, 2014.
- [13] M. J. Mahmoodabadi, S. Arabani Mostaghim, A. Bagheri, , Nariman-zadeh, N. Pareto "Optimal Design of the Decoupled Sliding Mode Controller for an Inverted Pendulum System and Its Stability Simulation via Java Programming" Mathematical and Computer Modelling, 2013.
- [14] J. Rezapour, M. Sharifi, & Nariman-zadeh, "Application of fuzzy sliding mode control to robotic manipulator using multi-objective genetic algorithm". In publish of IEEE International Symposium on Innovations in Intelligent Systems and Applications. (INISTA), PP. 455 – 459. Doi: 10. 1109/inista. 2011. 5946144, 2011.
- [15] Keramat Malakzadeh Fard, Ali Reza Pourmoayed, Hamid Akbarbeyglou, Mohammad Ali Ranjbar, Optimal Design of Satellite Thermal Control Subsystem Using Appropriate Choice of Surface Finishes, Journal of Aerospace Defense, Vol. 2, No 2, 1402.
- [16] M. J. Mahmoodabadi, M. Taherkhorsandi, M. Talebipour, Castillo-Villar, K. K. Adaptive "Robust PID Control Subject to Supervisory Decoupled Sliding Mode Control Based upon

Genetic Algorithm Optimization. Transactions of the Institute of Measurement and Control", 2015.

- [17] S. K Oh, H. J. Jang and W. Pedrycz, "The Design of a Fuzzy Cascade Controller for Ball and Beam System:A Study in Optimization with the Use of Parallel Genetic Algorithms", Engineering Applications of Artificial Intelligence, Vol. 22, pp. 261–271, 2009.
- [18] Zhao, W., Zhang, Z., Mirjalili, S., Wang, L., Khodadadi, N. and Mirjalili, S.M. An effective multi-objective artificial hummingbird algorithm with dynamic elimination -based crowding distance for solving engineering design problems. Computer Methods in Applied Mechanics and Engineering, 398:115223, 2022.
- [19] A. Khalkhali, M. Sadafi, J. Rezapour, H. Safikhani "Pareto based Multi-Objective optimization of solar thermal energy storage using genetic algorithm" Transactions of the Canadian Society for Mechanical Engineering, Vol. 13, No. 3–4, 2010.
- [20] Fathy, A. A novel artificial hummingbird algorithm for integrating renewable based biomass distributed generators in radial distribution systems. Applied Energy, 2022.
- [21] Chang, B.C., Kwatny, H. and Hu, S.S. An application of robust feedback linearization to a ball and beam control problem., 1998.
- [22] J. E. Slotine and W. Li, "Applied nonlinear control" Ed, Prentic Hall, Englewood Cliffs, New Jersey, 1991.
- [23] Yousri Silaa, M., Bencherif, A., and Barambones, O. A novel robust adaptive sliding mode control using stochastic gradient descent for PEMFC power system. International Journal of Hydrogen Energy. Available online , 2023.
- [24] Mahmoodabadi, M.J., Soleimani, T. and Sahnehsaraei, M.A., 2018. A hybrid optimal controller based on the robust decoupled sliding mode and adaptive feedback linearization. Information Technology and Control, 47(2), pp.295-309.